

Lektion 10: Introduktion til FIR-filtre

Signalbehandling

Christoffer Sloth

chs1@mmmi.sdu.dk

SDU Robotics
The Maersk Mc-Kinney Moller Institute
University of Southern Denmark



Introduktion

FIR-filter

- Introduktion

- Lineær fase

- Frekvensresponsanalyse

Design af FIR-filter

Eksempler

- Lavpasfilter

- Højpasfilter

- Båndpasfilter

- Båndstopfilter

Opsummering



Datakonvertering og digital signalbehandling herunder:¹

- ▶ ideel og praktisk sampling og rekonstruktion
- ▶ aliasing
- ▶ kvantisering og dynamikområde
- ▶ konverteringsprincipper (A/D og D/A)
- ▶ implementationsprincipper (Sample & Hold, A/D, D/A)
- ▶ multirate sampling
- ▶ diskret-tid signaler og systemer i tids- og frekvensdomænet
- ▶ Z-transformationen
- ▶ overføringsfunktion for lineære tidsinvariante systemer
- ▶ systemanalyse
- ▶ frekvensanalyse
- ▶ lineær fase systemer
- ▶ realisationsstrukturer for diskret-tid systemer
- ▶ hovedanvendelse af digital signalbehandling herunder digitale IIR-filtre og transformation af analoge filtre samt **digitale FIR-filtre og vindues-funktioner**

¹ Baseret på <https://odin.sdu.dk/sitecore/index.php?a=fagbesk&id=65003&listid=9093&lang=da>



- ▶ **Lektion 1:** Filterfunktioner
- ▶ **Lektion 2:** Sampling og rekonstruktion
- ▶ **Lektion 3:** Fast Fourier transformation (I)
- ▶ **Lektion 4:** Fast Fourier transformation (II)
- ▶ **Lektion 5:** Introduktion til z -transformation
- ▶ **Lektion 6:** Systemanalyse i z -domæne
- ▶ **Lektion 7:** Digitale realisationsstrukturer
- ▶ **Lektion 8:** Introduktion til IIR-filtre
- ▶ **Lektion 9:** Design af IIR-filtre
- ▶ **Lektion 10:** Introduktion til FIR-filtre
- ▶ **Lektion 11:** Design af FIR-filtre
- ▶ **Lektion 12:** Anvendelse af digital signalbehandling



Introduktion

FIR-filter

Introduktion

Lineær fase

Frekvensresponsanalyse

Design af FIR-filter

Eksempler

Lavpasfilter

Højpasfilter

Båndpasfilter

Båndstopfilter

Opsummering



Introduktion

FIR-filter

Introduktion

Lineær fase

Frekvensresponsanalyse

Design af FIR-filter

Eksempler

Lavpasfilter

Højpasfilter

Båndpasfilter

Båndstopfilter

Opsummering

FIR-filter

Definition



Et *finite impulse response* filter (FIR-filter) har et endeligt impulsrespons, som definerer filtrets størrelse. Et FIR-filter med N samples har impulsresponssekvens

$$h(n) = \begin{cases} a_n & \text{for } 0 \leq n \leq N - 1 \\ 0 & \text{ellers} \end{cases}$$

FIR-filter

Definition



Et *finite impulse response* filter (FIR-filter) har et endeligt impulsrespons, som definerer filtrets størrelse. Et FIR-filter med N samples har impulsresponssekvens

$$h(n) = \begin{cases} a_n & \text{for } 0 \leq n \leq N - 1 \\ 0 & \text{ellers} \end{cases}$$

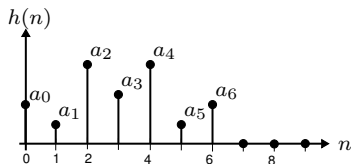
Filtret har dermed N koefficienter a_n for $n = 0, 1, \dots, N - 1$.



Et *finite impulse response* filter (FIR-filter) har et endeligt impulsrespons, som definerer filtrets størrelse. Et FIR-filter med N samples har impulsresponssekvens

$$h(n) = \begin{cases} a_n & \text{for } 0 \leq n \leq N - 1 \\ 0 & \text{ellers} \end{cases}$$

Filtret har dermed N koefficienter a_n for $n = 0, 1, \dots, N - 1$.





FIR-filtrets impulsrespons kan skrives

$$h(n) = \sum_{i=0}^{N-1} a_i \delta(n - i)$$



FIR-filtrets impulsrespons kan skrives

$$h(n) = \sum_{i=0}^{N-1} a_i \delta(n - i)$$

Ved z -transformation af $h(n)$ fås

$$H(z) = \frac{Y(z)}{X(z)} = \mathcal{Z}\{h(n)\} = \sum_{i=0}^{N-1} a_i z^{-i}$$



FIR-filtrets impulsrespons kan skrives

$$h(n) = \sum_{i=0}^{N-1} a_i \delta(n - i)$$

Ved z -transformation af $h(n)$ fås

$$H(z) = \frac{Y(z)}{X(z)} = \mathcal{Z}\{h(n)\} = \sum_{i=0}^{N-1} a_i z^{-i}$$

Overføringsfunktionen kan skrives med positive potenser som

$$H(z) = \frac{Y(z)}{X(z)} = \frac{\sum_{i=0}^{N-1} a_i z^{N-1-i}}{z^{N-1}}$$

hvoraf det ses at $H(z)$ har $N - 1$ poler i origo for z -planen og $N - 1$ nulpunkter.



Fra overføringsfunktionen

$$H(z) = \frac{Y(z)}{X(z)} = \sum_{i=0}^{N-1} a_i z^{-i}$$

ses det at

$$Y(z) = X(z) \sum_{i=0}^{N-1} a_i z^{-i}$$



Fra overføringsfunktionen

$$H(z) = \frac{Y(z)}{X(z)} = \sum_{i=0}^{N-1} a_i z^{-i}$$

ses det at

$$Y(z) = X(z) \sum_{i=0}^{N-1} a_i z^{-i}$$

Ved invers z -transformation fås

$$y(n) = \sum_{i=0}^{N-1} a_i x(n - i)$$



Fra overføringsfunktionen

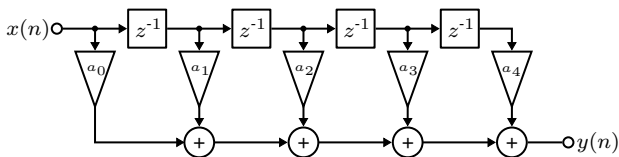
$$H(z) = \frac{Y(z)}{X(z)} = \sum_{i=0}^{N-1} a_i z^{-i}$$

ses det at

$$Y(z) = X(z) \sum_{i=0}^{N-1} a_i z^{-i}$$

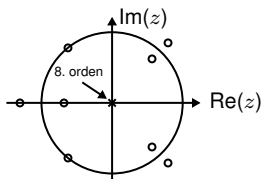
Ved invers z -transformation fås

$$y(n) = \sum_{i=0}^{N-1} a_i x(n-i)$$



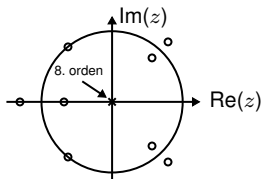


Følgende er pol-nulpunktsdiagram for et 8. ordens FIR-filter.





Følgende er pol-nulpunktsdiagram for et 8. ordens FIR-filter.



Filtret har lineær fase da nulpunkterne er i par, så hvis der er et nulpunkt i $z = r\angle\phi$ så er der også et nulpunkt i $z = 1/r\angle\phi$.



Introduktion

FIR-filter

Introduktion

Lineær fase

Frekvensresponsanalyse

Design af FIR-filter

Eksempler

Lavpasfilter

Højpasfilter

Båndpasfilter

Båndstopfilter

Opsummering



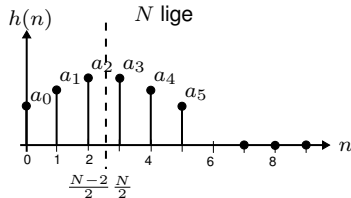
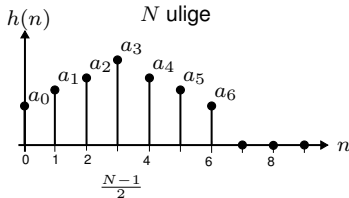
Et FIR filter med $N \geq 2$ samples har *lineær fase* hvis dets impulsrespons er symmetrisk omkring midtpunktet, dvs.

$$h(i) = h(N - 1 - i) \quad \text{for } i = 0, 1, \dots, \lfloor N/2 \rfloor - 1$$



Et FIR filter med $N \geq 2$ samples har *lineær fase* hvis dets impulsrespons er symmetrisk omkring midtpunktet, dvs.

$$h(i) = h(N - 1 - i) \quad \text{for } i = 0, 1, \dots, \lfloor N/2 \rfloor - 1$$



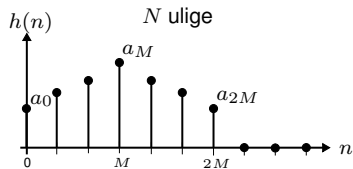


I det følgende antages det at N er ulige og den midterste sample får index

$$M = \frac{N - 1}{2}$$

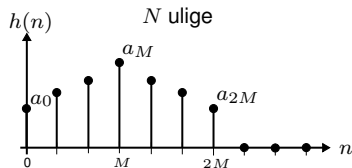
I det følgende antages det at N er ulige og den midterste sample får index

$$M = \frac{N - 1}{2}$$



I det følgende antages det at N er ulige og den midterste sample får index

$$M = \frac{N - 1}{2}$$



Dette betyder at

$$h(n) = h(2M - n)$$

og

$$a_i = a_{2M-i}$$



Introduktion

FIR-filter

Introduktion

Lineær fase

Frekvensresponsanalyse

Design af FIR-filter

Eksempler

Lavpasfilter

Højpasfilter

Båndpasfilter

Båndstopfilter

Opsummering

Frekvensresponsanalyse

Introduktion

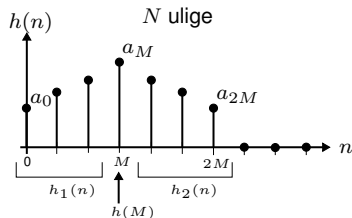


Når et FIR-filter designes kan ordenstallet ikke bestemmes nøjagtigt på forhånd som ved IIR-filtret. Derfor kan det være nødvendigt at redesigne filtret for at opnå en ønsket filterspecifikation.



Når et FIR-filter designes kan ordenstallet ikke bestemmes nøjagtigt på forhånd som ved IIR-filtret. Derfor kan det være nødvendigt at redesigne filtret for at opnå en ønsket filterspecifikation.

I den følgende analyse antages det at N er ulige.





Udtrykket for et FIR-filters impulsrespons kan opdeles som følger

$$h(n) = h_1(n) + h(M) + h_2(n)$$



Udtrykket for et FIR-filters impulsrespons kan opdeles som følger

$$h(n) = h_1(n) + h(M) + h_2(n)$$

Dette kan skrives

$$h(n) = \sum_{i=0}^{M-1} a_i \delta(n - i) + a_M \delta(n - M) + \sum_{i=M+1}^{2M} a_i \delta(n - i)$$



Udtrykket for et FIR-filters impulsrespons kan opdeles som følger

$$h(n) = h_1(n) + h_2(n)$$

Dette kan skrives

$$h(n) = \sum_{i=0}^{M-1} a_i \delta(n-i) + a_M \delta(n-M) + \sum_{i=M+1}^{2M} a_i \delta(n-i)$$

eller

$$\begin{aligned} h(n) &= \sum_{i=0}^{M-1} a_i \delta(n-i) + a_M \delta(n-M) + \sum_{i=0}^{M-1} a_i \delta(n-(2M-i)) \\ &= a_M \delta(n-M) + \sum_{i=0}^{M-1} a_i (\delta(n-i) + \delta(n-(2M-i))) \end{aligned}$$



Fra impulsresponssekvensen kan overføringsfunktionen findes ved z -transformation som

$$\begin{aligned} H(z) &= a_M z^{-M} + \sum_{i=0}^{M-1} a_i \left(z^{-i} + z^{-(2M-i)} \right) \\ &= a_M z^{-M} + \sum_{i=0}^{M-1} a_i z^{-M} \left(z^{M-i} + z^{-(M-i)} \right) \end{aligned}$$



Fra impulsresponssekvensen kan overføringsfunktionen findes ved z -transformation som

$$\begin{aligned} H(z) &= a_M z^{-M} + \sum_{i=0}^{M-1} a_i \left(z^{-i} + z^{-(2M-i)} \right) \\ &= a_M z^{-M} + \sum_{i=0}^{M-1} a_i z^{-M} \left(z^{M-i} + z^{-(M-i)} \right) \end{aligned}$$

For at finde frekvensresponsen, erstattes z med $e^{j\omega T} = e^{j\pi f/f_0}$ og vi får

$$H(e^{j\pi f/f_0}) = a_M e^{-jM\pi f/f_0} + \sum_{i=0}^{M-1} a_i e^{-jM\pi f/f_0} \left(e^{j(M-i)\pi f/f_0} + e^{-j(M-i)\pi f/f_0} \right)$$



Fra impulsresponssekvensen kan overføringsfunktionen findes ved z -transformation som

$$\begin{aligned} H(z) &= a_M z^{-M} + \sum_{i=0}^{M-1} a_i \left(z^{-i} + z^{-(2M-i)} \right) \\ &= a_M z^{-M} + \sum_{i=0}^{M-1} a_i z^{-M} \left(z^{M-i} + z^{-(M-i)} \right) \end{aligned}$$

For at finde frekvensresponsen, erstattes z med $e^{j\omega T} = e^{j\pi f/f_0}$ og vi får

$$H(e^{j\pi f/f_0}) = a_M e^{-jM\pi f/f_0} + \sum_{i=0}^{M-1} a_i e^{-jM\pi f/f_0} \left(e^{j(M-i)\pi f/f_0} + e^{-j(M-i)\pi f/f_0} \right)$$

Dette kan skrives ($\gamma := f/f_0$)

$$H(\gamma) = e^{-jM\pi\gamma} \left(a_M + \sum_{i=0}^{M-1} 2a_i \cos((M-i)\gamma\pi) \right)$$



Overføringsfunktionen

$$H(\gamma) = e^{-jM\pi\gamma} \left(a_M + \sum_{i=0}^{M-1} 2a_i \cos((M-i)\gamma\pi) \right)$$

har amplitude

$$|H(\gamma)| = a_M + \sum_{i=0}^{M-1} 2a_i \cos((M-i)\gamma\pi)$$



Overføringsfunktionen

$$H(\gamma) = e^{-jM\pi\gamma} \left(a_M + \sum_{i=0}^{M-1} 2a_i \cos((M-i)\gamma\pi) \right)$$

har amplitude

$$|H(\gamma)| = a_M + \sum_{i=0}^{M-1} 2a_i \cos((M-i)\gamma\pi)$$

og fase

$$\angle H(\gamma) = -M\pi\gamma$$



Overføringsfunktionen

$$H(\gamma) = e^{-jM\pi\gamma} \left(a_M + \sum_{i=0}^{M-1} 2a_i \cos((M-i)\gamma\pi) \right)$$

har amplitude

$$|H(\gamma)| = a_M + \sum_{i=0}^{M-1} 2a_i \cos((M-i)\gamma\pi)$$

og fase

$$\angle H(\gamma) = -M\pi\gamma$$

Dette giver en gruppeløbstid

$$T_g = -\frac{d\phi(\omega)}{d\omega} = MT = \frac{N-1}{2}T$$

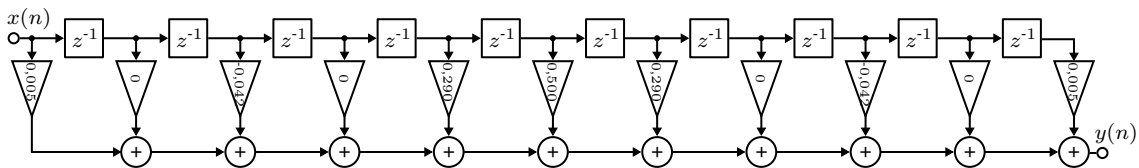
hvor T er sampleintervallet [s] og $\phi(\omega)$ er fasen af $H(\omega)$.

Frekvensresponsanalyse

Eksempel (koefficienter)

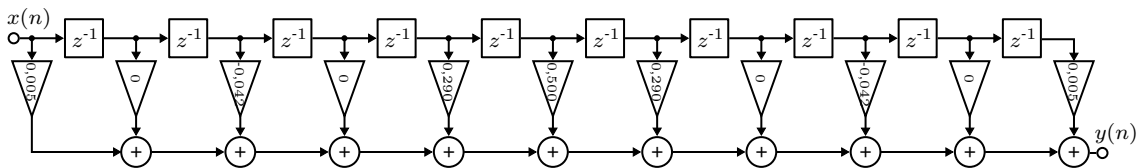


Betragt et FIR-filter med følgende realisationsstruktur og samplefrekvens $f_s = 40$ kHz.





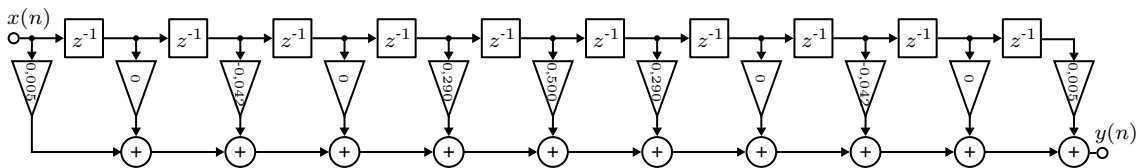
Betragt et FIR-filter med følgende realisationsstruktur og samplefrekvens $f_s = 40$ kHz.



Hvad er filtrets M -værdi?



Betragt et FIR-filter med følgende realisationsstruktur og samplefrekvens $f_s = 40$ kHz.



Hvad er filtrets M -værdi?

Hvad er filtrets koefficienter?



Forstærkningen af filtret findes ved $f = 10$ kHz som

$$\begin{aligned} |H(10k)| &= 20 \log \left[0,5 + \sum_{i=0}^4 2a_i \cos \left((5-i) \frac{\pi}{2} \right) \right] \\ &= -6,02 \text{ dB} \end{aligned}$$

hvor

$$\gamma = \frac{f}{f_o} = \frac{10k}{20k} = 0,5$$

Frekvensresponsanalyse

Eksempel (amplitude og fase)



Forstærkningen af filtret findes ved $f = 10$ kHz som

$$\begin{aligned} |H(10\text{k})| &= 20 \log \left[0,5 + \sum_{i=0}^4 2a_i \cos \left((5-i) \frac{\pi}{2} \right) \right] \\ &= -6,02 \text{ dB} \end{aligned}$$

hvor

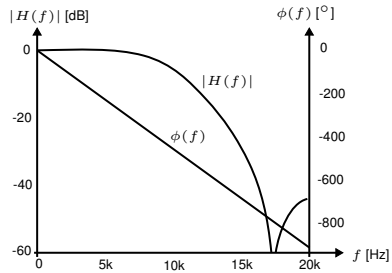
$$\gamma = \frac{f}{f_o} = \frac{10\text{k}}{20\text{k}} = 0,5$$

Fasen bliver

$$\phi(10\text{k}) = -M\gamma\pi = -\frac{5\pi}{2}$$

Frekvensresponsanalyse

Eksempel (Bode plot)





Introduktion

FIR-filter

Introduktion

Lineær fase

Frekvensresponsanalyse

Design af FIR-filter

Eksempler

Lavpasfilter

Højpasfilter

Båndpasfilter

Båndstopfilter

Opsummering

Design af FIR-filter

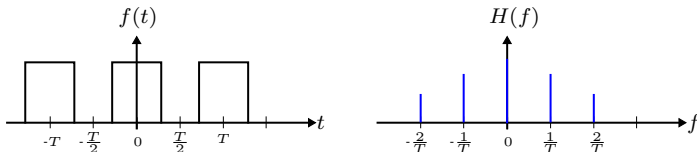
Introduktion



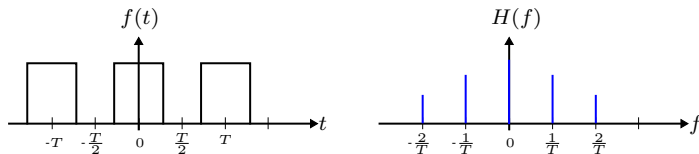
Vi benytter *Fourierkoefficientmetoden* til udregning af FIR-filtres koefficienter. Denne metode er baseret på Fouriertransformation af amplitudespekret af det ønskede filter.

Vi benytter *Fourierkoefficientmetoden* til udregning af FIR-filtres koefficienter. Denne metode er baseret på Fouriertransformation af amplitudesprekret af det ønskede filter.

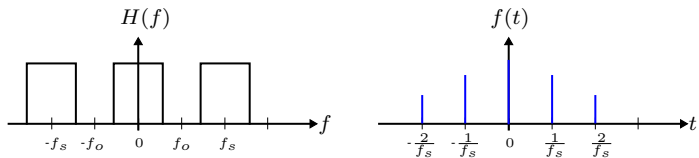
Ved Fouriertransformation kan et periodisk signal $f(t)$ med periode T opløses i et uendeligt antal diskrete frekvenskomponenter ved frekvenser der er heltalsmultipla af grundfrekvensen $f_1 = 1/T$.



Ved Fouriertransformation kan et periodisk signal $f(t)$ med periode T opløses i et uendeligt antal diskrete frekvenskomponenter ved frekvenser der er heltalsmultipla af grundfrekvensen $f_1 = 1/T$.



Da filtrets amplitudekarakteristik $|H(f)|$ er periodisk med f_s kan denne også Fouriertransformeres. Så fåes et signal med diskrete værdier ved heltalsmultipla af $1/f_s$.





Lad $f(t)$ være en periodisk funktion med periodetid T og Fourierkoefficienter c_m . Så kan $f(t)$ udtrykkes

$$f(t) = \sum_{m=-\infty}^{\infty} c_m e^{j2\pi m f_1 t}$$

hvor f_1 er grundfrekvensen ($f_1 = 1/T$). Samtidig kan Fourierkoefficienterne udtrykkes

$$c_m = \frac{1}{T} \int_{-T/2}^{T/2} f(t) e^{-j2\pi m f_1 t} dt$$

Design af FIR-filter

Fourier transformation af $|H(s)|$



Fouriertransformation kan benyttes til alle periodiske signaler inklusiv frekvensresponsfunktionen $|H(s)|$, dvs.

$$|H(f)| = \sum_{m=-\infty}^{\infty} c_m e^{j2\pi m T f}$$

og Fourierkoefficienterne kan udtrykkes

$$c_m = \frac{1}{f_s} \int_{-f_s/2}^{f_s/2} |H(f)| e^{-j2\pi m T f} df$$



Et FIR-filer har et endeligt impulsrespons. Derfor afskæres Fourierrækken for $|H(f)|$ til $2M + 1$ led, dvs.

$$|H(f)| = \sum_{m=-M}^M c_m e^{j2\pi m T f}$$

Fourierkoefficienterne er givet ved

$$\begin{aligned} c_m &= \frac{1}{f_s} \int_{-f_o}^{f_o} |H(f)| e^{-j2\pi m T f} df \\ &= \frac{1}{f_s} \int_{-f_o}^{f_o} |H(f)| (\cos(2\pi m T f) - j \sin(2\pi m T f)) df \end{aligned}$$



Et FIR-filter har et endeligt impulsrespons. Derfor afskæres Fourierrækken for $|H(f)|$ til $2M + 1$ led, dvs.

$$|H(f)| = \sum_{m=-M}^M c_m e^{j2\pi m T f}$$

Fourierkoefficienterne er givet ved

$$\begin{aligned} c_m &= \frac{1}{f_s} \int_{-f_o}^{f_o} |H(f)| e^{-j2\pi m T f} df \\ &= \frac{1}{f_s} \int_{-f_o}^{f_o} |H(f)| (\cos(2\pi m T f) - j \sin(2\pi m T f)) df \end{aligned}$$

For at filtret har lineær fase skal koefficienterne have enten rene cosinus komponenter eller rene sinus komponenter.



Et FIR-filter har et endeligt impulsrespons. Derfor afskæres Fourierrækken for $|H(f)|$ til $2M + 1$ led, dvs.

$$|H(f)| = \sum_{m=-M}^M c_m e^{j2\pi m T f}$$

Fourierkoefficienterne er givet ved

$$\begin{aligned} c_m &= \frac{1}{f_s} \int_{-f_o}^{f_o} |H(f)| e^{-j2\pi m T f} df \\ &= \frac{1}{f_s} \int_{-f_o}^{f_o} |H(f)| (\cos(2\pi m T f) - j \sin(2\pi m T f)) df \end{aligned}$$

For at filtret har lineær fase skal koefficienterne have enten rene cosinus komponenter eller rene sinus komponenter.

Bemærk at dette filter ikke er kausalt.



Da lavpas, højpas, båndpas og båndstopfiltre er genereret af et amplituderespons, der er en lige funktion antages dette i det følgende, hvorved Fourierkoefficienterne er givet ved

$$c_m = \frac{1}{f_s} \int_{-f_o}^{f_o} |H(f)| \cos(2\pi m T f) df$$



Da lavpas, højpas, båndpas og båndstopfiltre er genereret af et amplituderespons, der er en lige funktion antages dette i det følgende, hvorved Fourierkoefficienterne er givet ved

$$c_m = \frac{1}{f_s} \int_{-f_o}^{f_o} |H(f)| \cos(2\pi m T f) df$$

Da integranten er en lige funktion kan koefficienterne udregnes som

$$c_m = c_{-m} = \frac{2}{f_s} \int_0^{f_o} |H(f)| \cos(2\pi m T f) df$$



Ud fra

$$|H(f)| = \sum_{m=-M}^M c_m e^{j2\pi m T f} \quad \text{og} \quad z = e^{j2\pi f T}$$

ses det at

$$H(z) = \sum_{m=-M}^M c_m z^m$$

Da dette filter ikke er kausalt, introduceres en forsinkelse på M samples

$$H(z) = z^{-M} \sum_{m=-M}^M c_m z^m = \sum_{m=-M}^M c_m z^{m-M} = \sum_{i=0}^{2M} c_{M-i} z^{-i}$$



Ud fra

$$|H(f)| = \sum_{m=-M}^M c_m e^{j2\pi m T f} \quad \text{og} \quad z = e^{j2\pi f T}$$

ses det at

$$H(z) = \sum_{m=-M}^M c_m z^m$$

Da dette filter ikke er kausalt, introduceres en forsinkelse på M samples

$$H(z) = z^{-M} \sum_{m=-M}^M c_m z^m = \sum_{m=-M}^M c_m z^{m-M} = \sum_{i=0}^{2M} c_{M-i} z^{-i}$$

Ud fra ovenstående formel kan filterkoefficienterne bestemmes ved

$$a_i = c_{M-i}$$



Introduktion

FIR-filter

Introduktion

Lineær fase

Frekvensresponsanalyse

Design af FIR-filter

Eksempler

Lavpasfilter

Højpasfilter

Båndpasfilter

Båndstopfilter

Opsummering



Introduktion

FIR-filter

Introduktion

Lineær fase

Frekvensresponsanalyse

Design af FIR-filter

Eksempler

Lavpasfilter

Højpasfilter

Båndpasfilter

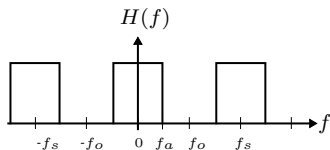
Båndstopfilter

Opsummering



Et ideelt lavpasfilter har følgende amplitudekarakteristik

$$|H(f)| = \begin{cases} 1 & \text{for } 0 < f < f_a \\ 0 & \text{for } f_a < f < f_o \end{cases}$$





Et ideelt lavpasfilter har følgende amplitudekarakteristik

$$|H(f)| = \begin{cases} 1 & \text{for } 0 < f < f_a \\ 0 & \text{for } f_a < f < f_o \end{cases}$$

Lavpasfiltrets koefficienter kan derfor beregnes som (for $m \neq 0$)

$$\begin{aligned} c_m = c_{-m} &= \frac{1}{m\pi} \int_0^{f_a} 1 \cdot \cos(2\pi m T f) d2\pi m T f \\ &= \frac{1}{m\pi} [\sin(2\pi m T f)]_{f=0}^{f_a} \\ &= \frac{1}{m\pi} \sin(2\pi m T f_a) \end{aligned}$$



Et ideelt lavpasfilter har følgende amplitudekarakteristik

$$|H(f)| = \begin{cases} 1 & \text{for } 0 < f < f_a \\ 0 & \text{for } f_a < f < f_o \end{cases}$$

Lavpasfiltrets koefficienter kan derfor beregnes som (for $m \neq 0$)

$$\begin{aligned} c_m = c_{-m} &= \frac{1}{m\pi} \int_0^{f_a} 1 \cdot \cos(2\pi m T f) d2\pi m T f \\ &= \frac{1}{m\pi} [\sin(2\pi m T f)]_{f=0}^{f_a} \\ &= \frac{1}{m\pi} \sin(2\pi m T f_a) \end{aligned}$$

Sidste koefficient er (ved brug af L'Hospitals regel)

$$c_0 = 2T f_a \frac{\sin(2\pi m T f_a)}{2\pi m T f_a} = 2T f_a$$



Ønskes et lavpasfilter med afskæringsfrekvens $f_a = 2$ kHz via FIR-filter med 23 samples fås

$$M = \frac{23 - 1}{2} = 11$$



Ønskes et lavpasfilter med afskæringsfrekvens $f_a = 2$ kHz via FIR-filter med 23 samples fås

$$M = \frac{23 - 1}{2} = 11$$

Koefficienterne kan dermed findes ud fra Fourierkoefficienterne som

$$a_i = a_{22-i} = c_{11-i}$$



Ønskes et lavpasfilter med afskæringsfrekvens $f_a = 2$ kHz via FIR-filter med 23 samples fås

$$M = \frac{23 - 1}{2} = 11$$

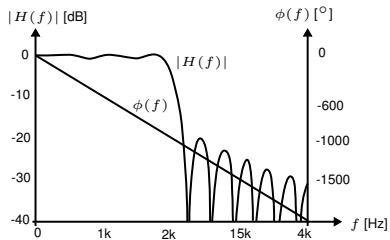
Koefficienterne kan dermed findes ud fra Fourierkoefficienterne som

$$a_i = a_{22-i} = c_{11-i}$$

Koefficienterne kan dermed udregnes fra tidligere formler.

Lavpasfilter

Eksempel (II)





Introduktion

FIR-filter

Introduktion

Lineær fase

Frekvensresponsanalyse

Design af FIR-filter

Eksempler

Lavpasfilter

Højpasfilter

Båndpasfilter

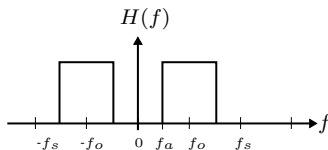
Båndstopfilter

Opsummering



Et ideelt højpasfilter har følgende amplitudekarakteristik

$$|H(f)| = \begin{cases} 0 & \text{for } 0 < f < f_a \\ 1 & \text{for } f_a < f < f_o \end{cases}$$





Et ideelt højpasfilter har følgende amplitudekarakteristik

$$|H(f)| = \begin{cases} 0 & \text{for } 0 < f < f_a \\ 1 & \text{for } f_a < f < f_o \end{cases}$$

Højpasfiltrets koefficienter kan derfor beregnes som (for $m \neq 0$)

$$\begin{aligned} c_m = c_{-m} &= \frac{1}{m\pi} \int_{f_a}^{f_o} 1 \cdot \cos(2\pi m T f) d2\pi m T f \\ &= \frac{1}{m\pi} [\sin(2\pi m T f)]_{f=f_a}^{f_o} \\ &= \frac{1}{m\pi} (\sin(m\pi) - \sin(2\pi m T f_a)) \end{aligned}$$



Et ideelt højpasfilter har følgende amplitudekarakteristik

$$|H(f)| = \begin{cases} 0 & \text{for } 0 < f < f_a \\ 1 & \text{for } f_a < f < f_o \end{cases}$$

Højpasfiltrets koefficienter kan derfor beregnes som (for $m \neq 0$)

$$\begin{aligned} c_m = c_{-m} &= \frac{1}{m\pi} \int_{f_a}^{f_o} 1 \cdot \cos(2\pi m T f) d2\pi m T f \\ &= \frac{1}{m\pi} [\sin(2\pi m T f)]_{f=f_a}^{f_o} \\ &= \frac{1}{m\pi} (\sin(m\pi) - \sin(2\pi m T f_a)) \end{aligned}$$

Sidste koefficient er (ved brug af L'Hospitals regel)

$$c_0 = 1 - 2T f_a$$



Introduktion

FIR-filter

Introduktion

Lineær fase

Frekvensresponsanalyse

Design af FIR-filter

Eksempler

Lavpasfilter

Højpasfilter

Båndpasfilter

Båndstopfilter

Opsummering



Et ideelt båndpasfilter har følgende amplitudekarakteristik

$$|H(f)| = \begin{cases} 1 & \text{for } f_{a_1} < f < f_{a_2} \\ 0 & \text{ellers} \end{cases}$$



Et ideelt båndpasfilter har følgende amplitudekarakteristik

$$|H(f)| = \begin{cases} 1 & \text{for } f_{a_1} < f < f_{a_2} \\ 0 & \text{ellers} \end{cases}$$

Båndpasfiltrets koefficienter kan derfor beregnes som (for $m \neq 0$)

$$\begin{aligned} c_m = c_{-m} &= \frac{1}{m\pi} \int_{f_{a_1}}^{f_{a_2}} 1 \cdot \cos(2\pi m T f) d2\pi m T f \\ &= \frac{1}{m\pi} (\sin(2\pi m T f_{a_2}) - \sin(2\pi m T f_{a_1})) \end{aligned}$$



Et ideelt båndpasfilter har følgende amplitudekarakteristik

$$|H(f)| = \begin{cases} 1 & \text{for } f_{a_1} < f < f_{a_2} \\ 0 & \text{ellers} \end{cases}$$

Båndpasfiltrets koefficienter kan derfor beregnes som (for $m \neq 0$)

$$\begin{aligned} c_m = c_{-m} &= \frac{1}{m\pi} \int_{f_{a_1}}^{f_{a_2}} 1 \cdot \cos(2\pi mT f) d2\pi mT f \\ &= \frac{1}{m\pi} (\sin(2\pi mT f_{a_2}) - \sin(2\pi mT f_{a_1})) \end{aligned}$$

Sidste koefficient er (ved brug af L'Hospitals regel)

$$c_0 = 2T(f_{a_2} - f_{a_1})$$



Et ideelt båndpasfilter har følgende amplitudekarakteristik

$$|H(f)| = \begin{cases} 1 & \text{for } f_{a_1} < f < f_{a_2} \\ 0 & \text{ellers} \end{cases}$$

Båndpasfiltrets koefficienter kan derfor beregnes som (for $m \neq 0$)

$$\begin{aligned} c_m = c_{-m} &= \frac{1}{m\pi} \int_{f_{a_1}}^{f_{a_2}} 1 \cdot \cos(2\pi mT f) d2\pi mT f \\ &= \frac{1}{m\pi} (\sin(2\pi mT f_{a_2}) - \sin(2\pi mT f_{a_1})) \end{aligned}$$

Sidste koefficient er (ved brug af L'Hospitals regel)

$$c_0 = 2T(f_{a_2} - f_{a_1})$$

Dette giver en centerfrekvens

$$f_c = \frac{f_{a_2} - f_{a_1}}{2}$$



Introduktion

FIR-filter

Introduktion

Lineær fase

Frekvensresponsanalyse

Design af FIR-filter

Eksempler

Lavpasfilter

Højpasfilter

Båndpasfilter

Båndstopfilter

Opsummering



Et ideelt båndstopfilter har følgende amplitudekarakteristik

$$|H(f)| = \begin{cases} 0 & \text{for } f_{a_1} < f < f_{a_2} \\ 1 & \text{ellers} \end{cases}$$



Et ideelt båndstopfilter har følgende amplitudekarakteristik

$$|H(f)| = \begin{cases} 0 & \text{for } f_{a_1} < f < f_{a_2} \\ 1 & \text{ellers} \end{cases}$$

Båndstopfiltrets koefficienter kan derfor beregnes som (for $m \neq 0$)

$$\begin{aligned} c_m = c_{-m} &= \frac{1}{m\pi} \int_0^{f_{a_1}} 1 \cdot \cos(2\pi m T f) d2\pi m T f + \frac{1}{m\pi} \int_{f_{a_2}}^{f_o} 1 \cdot \cos(2\pi m T f) d2\pi m T f \\ &= \frac{1}{m\pi} (\sin(m\pi) + \sin(2\pi m T f_{a_1}) - \sin(2\pi m T f_{a_2})) \end{aligned}$$



Et ideelt båndstopfilter har følgende amplitudekarakteristik

$$|H(f)| = \begin{cases} 0 & \text{for } f_{a_1} < f < f_{a_2} \\ 1 & \text{ellers} \end{cases}$$

Båndstopfiltrets koefficienter kan derfor beregnes som (for $m \neq 0$)

$$\begin{aligned} c_m = c_{-m} &= \frac{1}{m\pi} \int_0^{f_{a_1}} 1 \cdot \cos(2\pi mTf) d2\pi mTf + \frac{1}{m\pi} \int_{f_{a_2}}^{f_o} 1 \cdot \cos(2\pi mTf) d2\pi mTf \\ &= \frac{1}{m\pi} (\sin(m\pi) + \sin(2\pi mTf_{a_1}) - \sin(2\pi mTf_{a_2})) \end{aligned}$$

Sidste koefficient er (ved brug af L'Hospitals regel)

$$c_0 = 1 - 2T(f_{a_2} - f_{a_1})$$



Et ideelt båndstopfilter har følgende amplitudekarakteristik

$$|H(f)| = \begin{cases} 0 & \text{for } f_{a_1} < f < f_{a_2} \\ 1 & \text{ellers} \end{cases}$$

Båndstopfiltrets koefficienter kan derfor beregnes som (for $m \neq 0$)

$$\begin{aligned} c_m = c_{-m} &= \frac{1}{m\pi} \int_0^{f_{a_1}} 1 \cdot \cos(2\pi mTf) d2\pi mTf + \frac{1}{m\pi} \int_{f_{a_2}}^{f_o} 1 \cdot \cos(2\pi mTf) d2\pi mTf \\ &= \frac{1}{m\pi} (\sin(m\pi) + \sin(2\pi mTf_{a_1}) - \sin(2\pi mTf_{a_2})) \end{aligned}$$

Sidste koefficient er (ved brug af L'Hospitals regel)

$$c_0 = 1 - 2T(f_{a_2} - f_{a_1})$$

Dette giver en centerfrekvens

$$f_c = \frac{f_{a_2} - f_{a_1}}{2}$$



Introduktion

FIR-filter

Introduktion

Lineær fase

Frekvensresponsanalyse

Design af FIR-filter

Eksempler

Lavpasfilter

Højpasfilter

Båndpasfilter

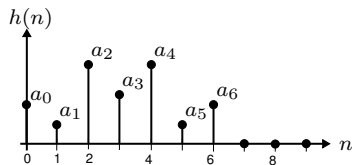
Båndstopfilter

Opsummering

Et *finite impulse response* filter (FIR-filter) med N samples har impulsresponssekvens

$$h(n) = \begin{cases} a_n & \text{for } 0 \leq n \leq N - 1 \\ 0 & \text{ellers} \end{cases}$$

Filtret har N koefficienter a_n for $n = 0, 1, \dots, N - 1$.





Et FIR-filter med $N \geq 2$ samples har *lineær fase* hvis dets impulsrespons er symmetrisk omkring midtpunktet, dvs.

$$h(i) = h(N - 1 - i) \quad \text{for } i = 0, 1, \dots, \lfloor N/2 \rfloor - 1$$

Et FIR-filter har lineær fase hvis nulpunkterne er i par, så hvis der er et nulpunkt i $z = r \angle \phi$ så er der også et nulpunkt i $z = 1/r \angle \phi$.



Følgende viser en oversigt over Fourierkoefficienter for de fire filtertyper.

Filtertype	c_0	$c_m = c_{-m}$	a_i
Lavpas	$2T f_a$	$\frac{1}{m\pi} \sin(2\pi m T f_a)$	c_{M-i}
Højpas	$1 - 2T f_a$	$\frac{1}{m\pi} (\sin(m\pi) - \sin(2\pi m T f_a))$	c_{M-i}
Båndpas	$2T(f_{a_2} - f_{a_1})$	$\frac{1}{m\pi} (\sin(2\pi m T f_{a_2}) - \sin(2\pi m T f_{a_1}))$	c_{M-i}
Båndstop	$1 - 2T(f_{a_2} - f_{a_1})$	$\frac{1}{m\pi} (\sin(m\pi) + \sin(2\pi m T f_{a_1}) - \sin(2\pi m T f_{a_2}))$	c_{M-i}